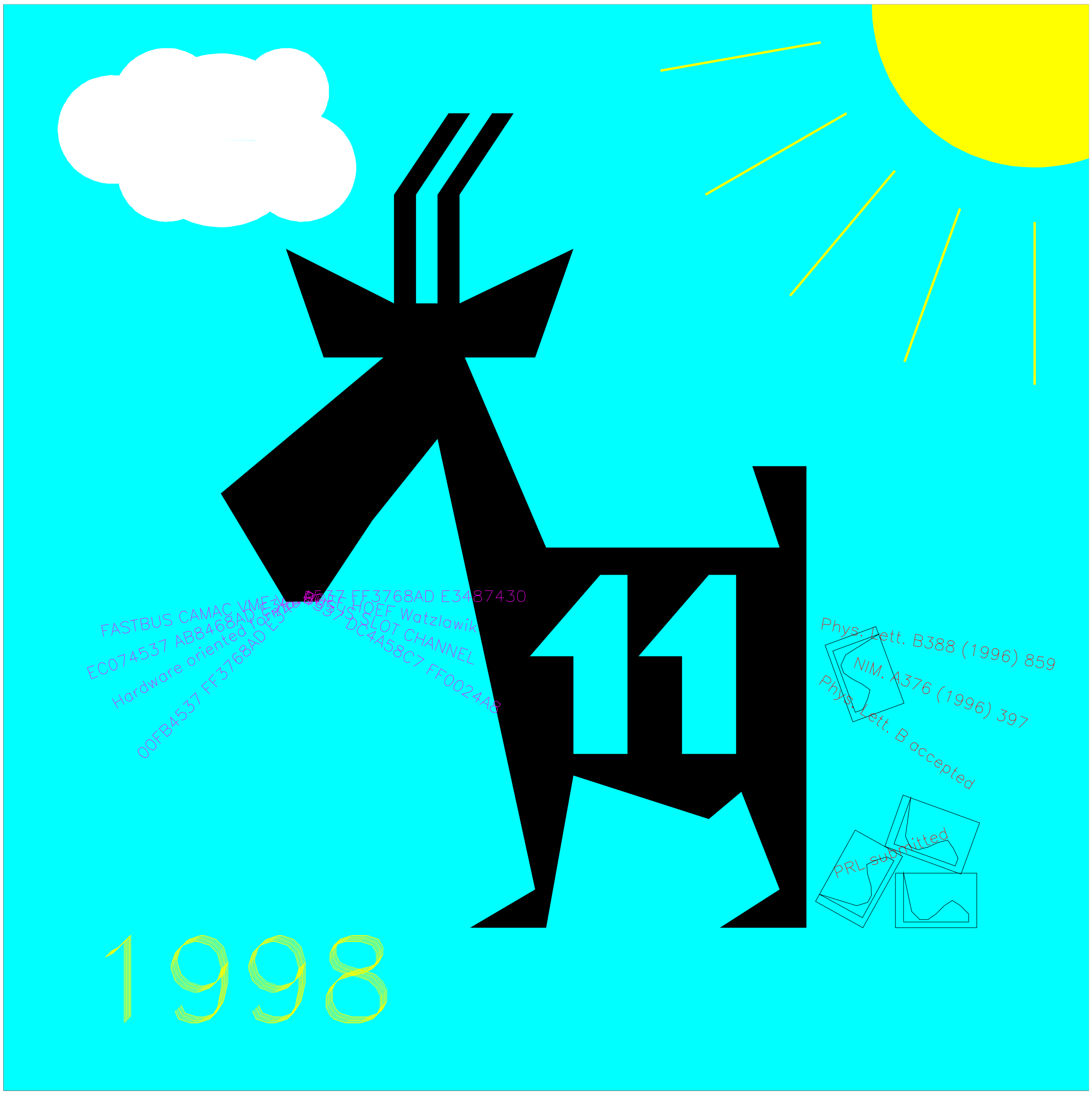

Die COSY-11 Kollaboration

Institut für Kernphysik (IKP)
des Forschungszentrums Jülich
Zentrallabor für Elektronik (ZEL)
des Forschungszentrums Jülich
Institut für Kernphysik (IKP)
der Universität Münster
Institut für Physik (IPUJ)
der Jagellonischen Universität Krakau, Polen
Institut für Kernphysik (IFJ)
Krakau-Bronowice, Polen
Indiana University Cyclotron Facility (IUCF)
Bloomington, Indiana, USA
Atomic Energy Authority (NRC)
Cairo, Egypt

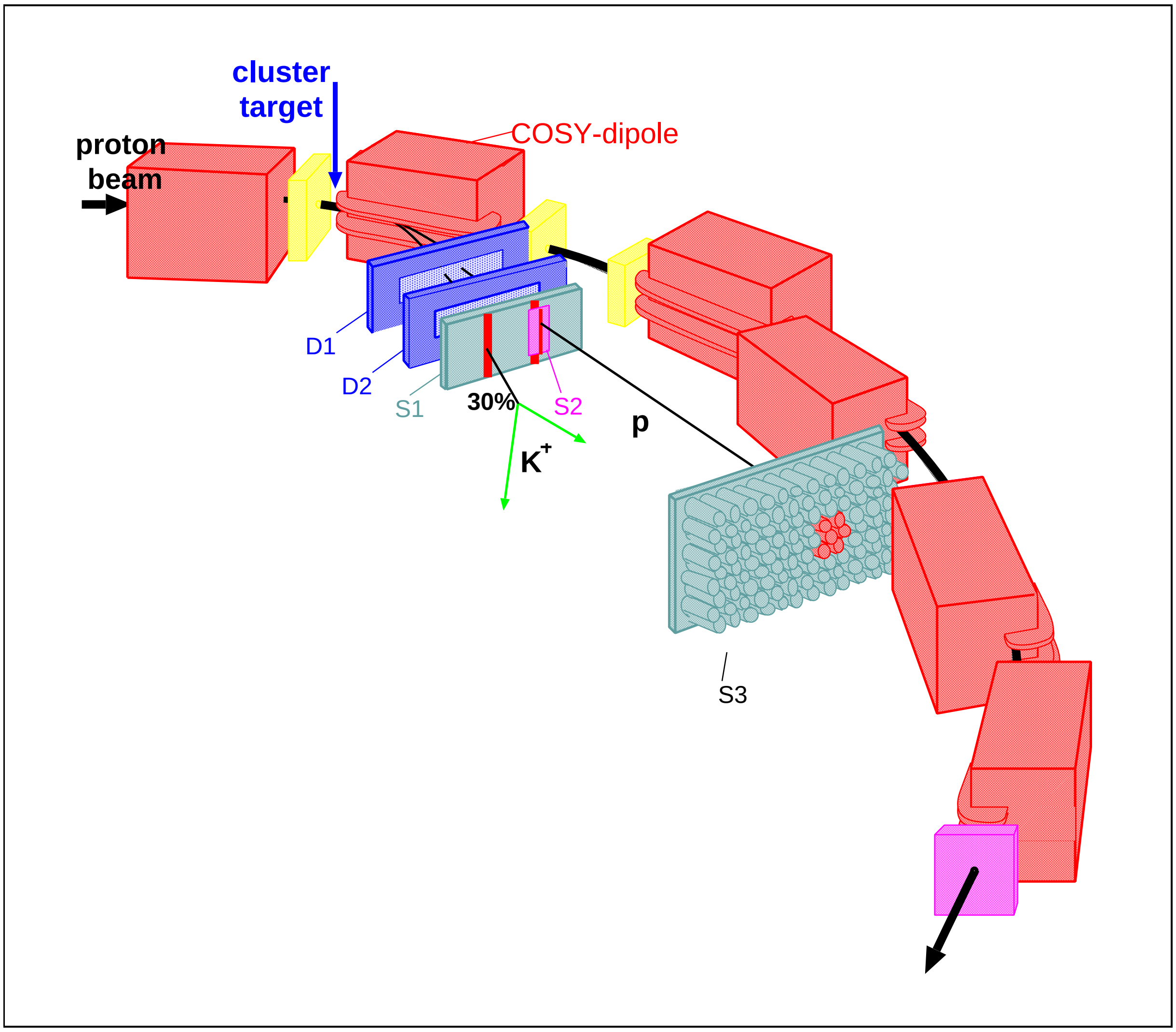

Die COSY-11 Installation

Schematische Darstellung der COSY-11 Installation am COSY-Dipol Nr. 8 mit Target und Detektoren: Driftkammern D1 und D2, Szintillatoren S1 - S3 und Siliziumzähler im Dipolgap.

Januar January Styczeń

Mo	Di	Mi	Do	Fr	Sa	**So**
			1	2	3	**4**
5	6	7	8	9	10	**11**
12	13	14	15	16	17	**18**
19	20	21	22	23	24	**25**
26	27	28	29	30	31	

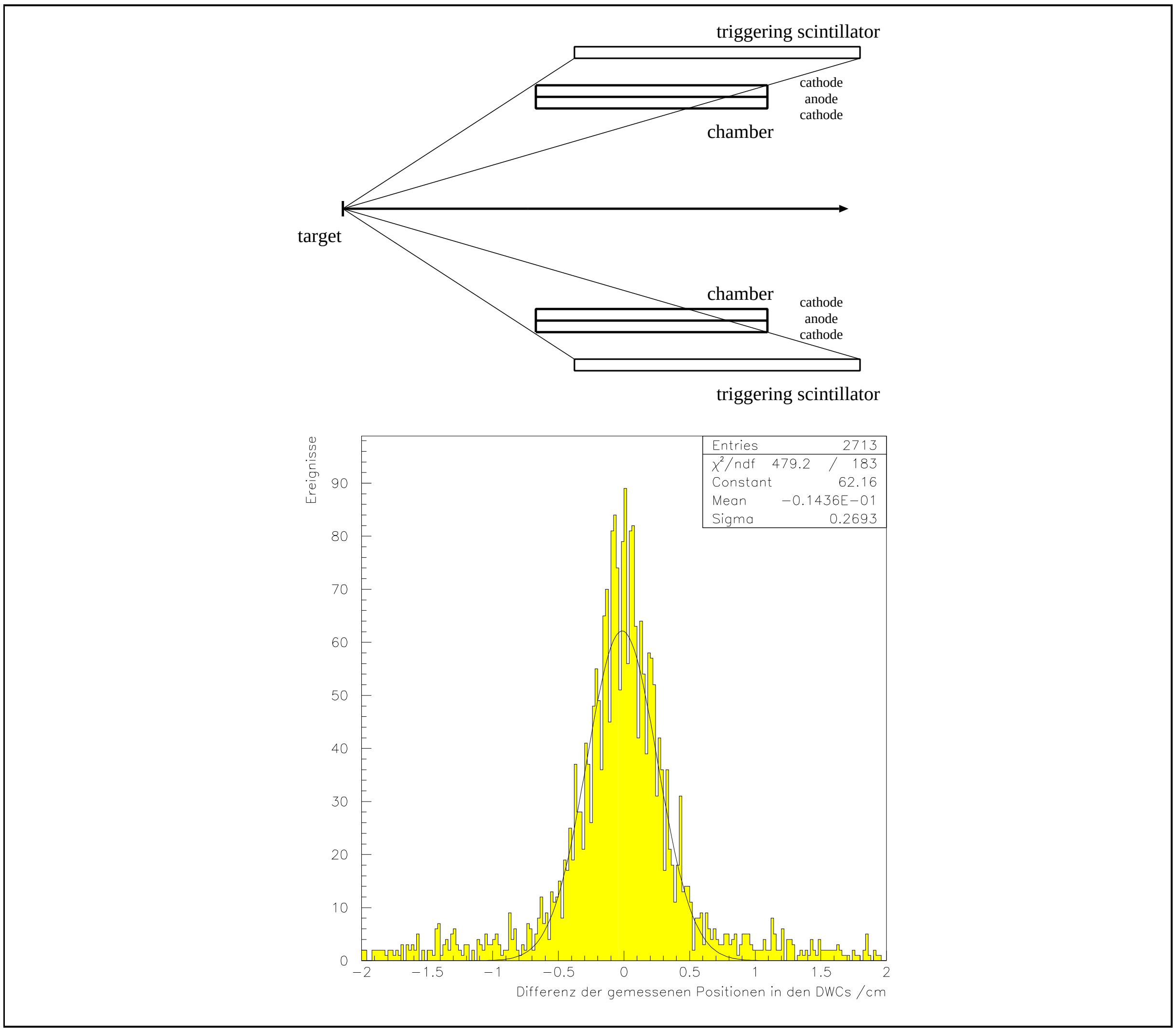

Vieldrahtproportionalkammern zur Luminositätsbestimmung
Das obere Bild zeigt die vorgesehene Positionierung der Kammern.
Die ermittelte Ortsauflösung (untere Darstellung) liegt bei σ=2.7mm.

Februar February Luty

Mo	Di	Mi	Do	Fr	Sa	**So**
						1
2	3	4	5	6	7	**8**
9	10	11	12	13	14	**15**
16	17	18	19	20	21	**22**
23	24	25	26	27	28	

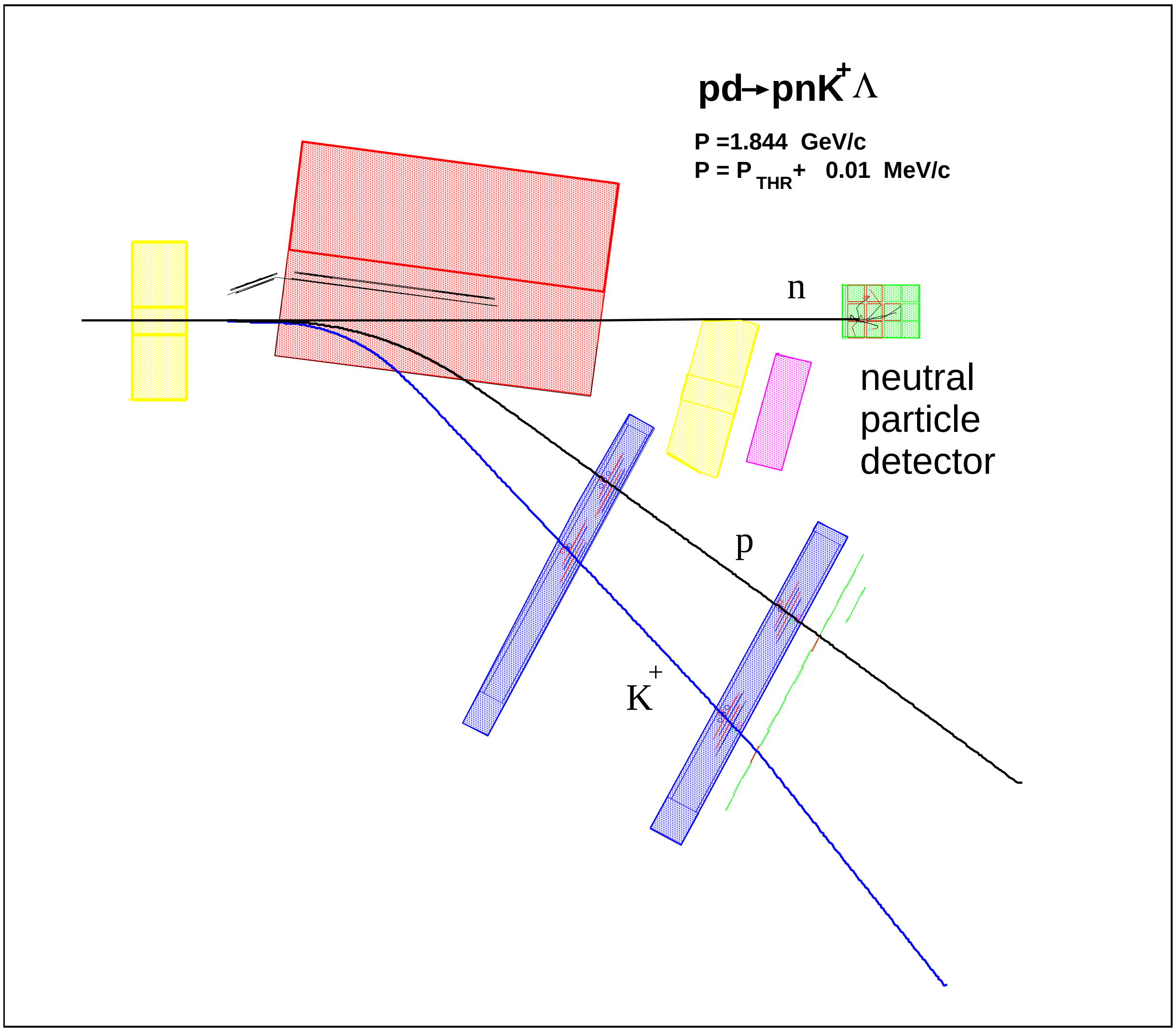

Neutralteilchendetektor

Neutralteilchendetektor zum Nachweis von Neutronen.
Als Beispiel ist ein Ereignis der Reaktion pd $\rightarrow$ pn$K^+\Lambda$ gezeigt.

März March Marzec

Mo	Di	Mi	Do	Fr	Sa	**So**
						1
2	3	4	5	6	7	**8**
9	10	11	12	13	14	**15**
16	17	18	19	20	21	**22**
23	24	25	26	27	28	**29**
30	31					

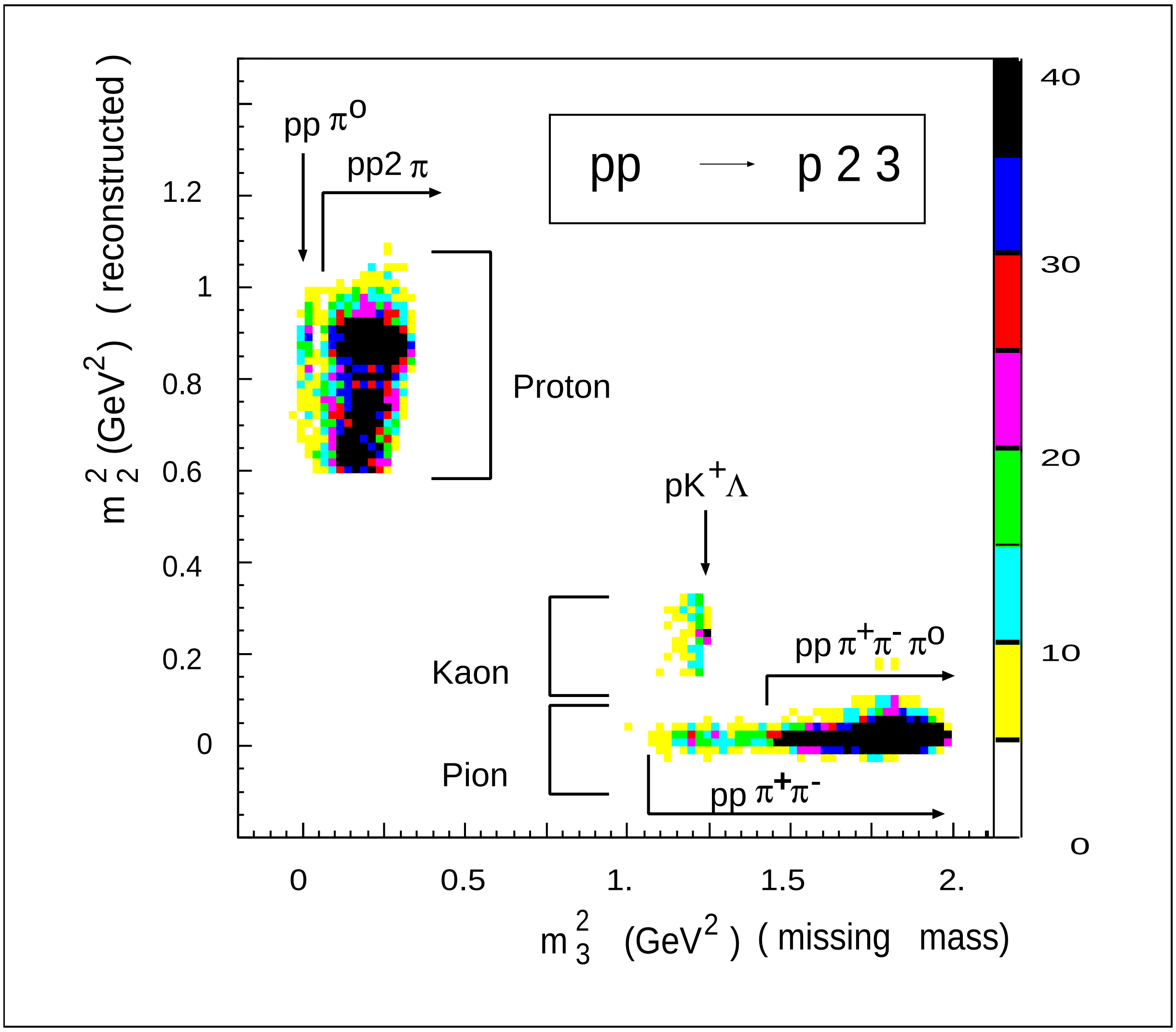

Massenauflösung des Detektionssystems

Sowohl verschiedene Ejektile als auch unterschiedliche Reaktionskanäle sind gut separierbar.

April April Kwiecień

Mo	Di	Mi	Do	Fr	Sa	**So**
		1	2	3	4	**5**
6	7	8	9	**10**	11	**12**
13	14	15	16	17	18	**19**
20	21	22	23	24	25	**26**
27	28	29	30			

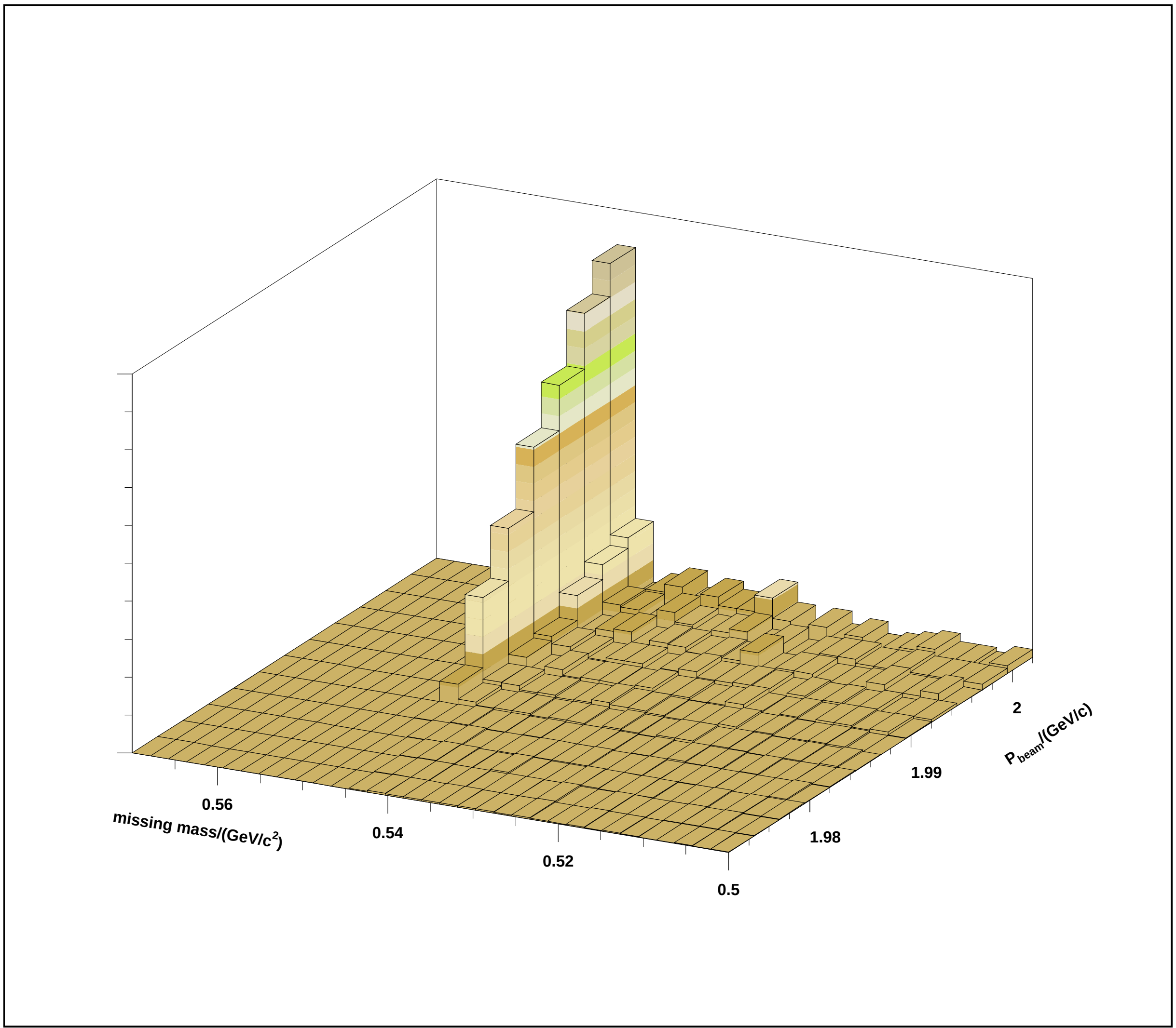

Produktion von η-Mesonen

Energieabhängigkeit der Produktion von η-Mesonen
im Bereich der Produktionsschwelle bei 1.986 GeV/c.

Mai May Maj

Mo	Di	Mi	Do	Fr	Sa	**So**
				1	2	**3**
4	5	6	7	8	9	**10**
11	12	13	14	15	16	**17**
18	19	20	**21**	22	23	**24**
25	26	27	28	29	30	**31**

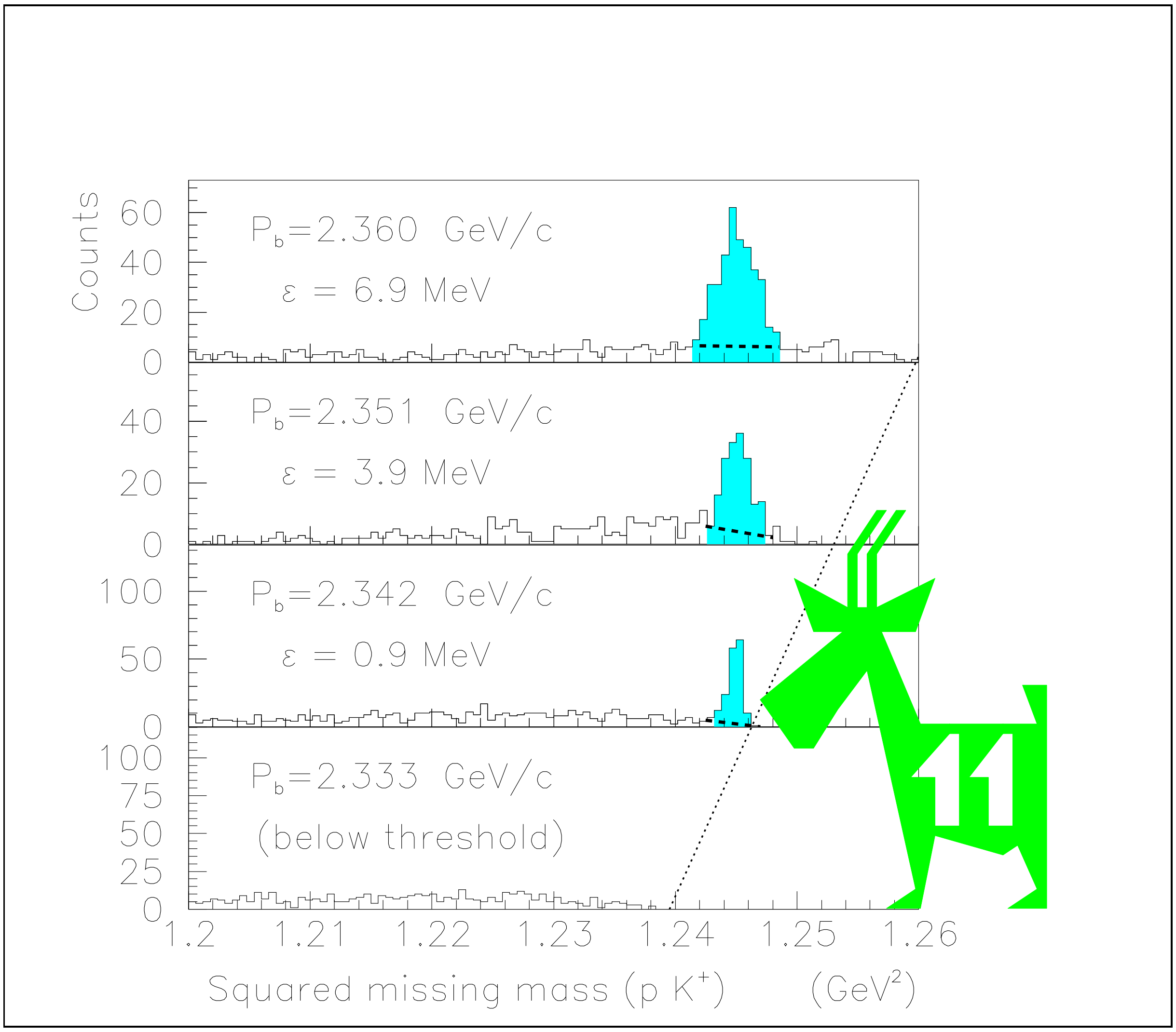

Hyperonproduktion an COSY-11
Assoziierte Strangenessproduktion im Kanal
$pp \rightarrow pK^+\Lambda$ im Schwellenbereich.
"Missing mass"-Spektren unter- und oberhalb der Schwelle.

Juni June Czerwiec

Mo	Di	Mi	Do	Fr	Sa	**So**
1	2	3	4	5	6	**7**
8	9	10	**11**	12	13	**14**
15	16	17	18	19	20	**21**
22	23	24	25	26	27	**28**
29	30					

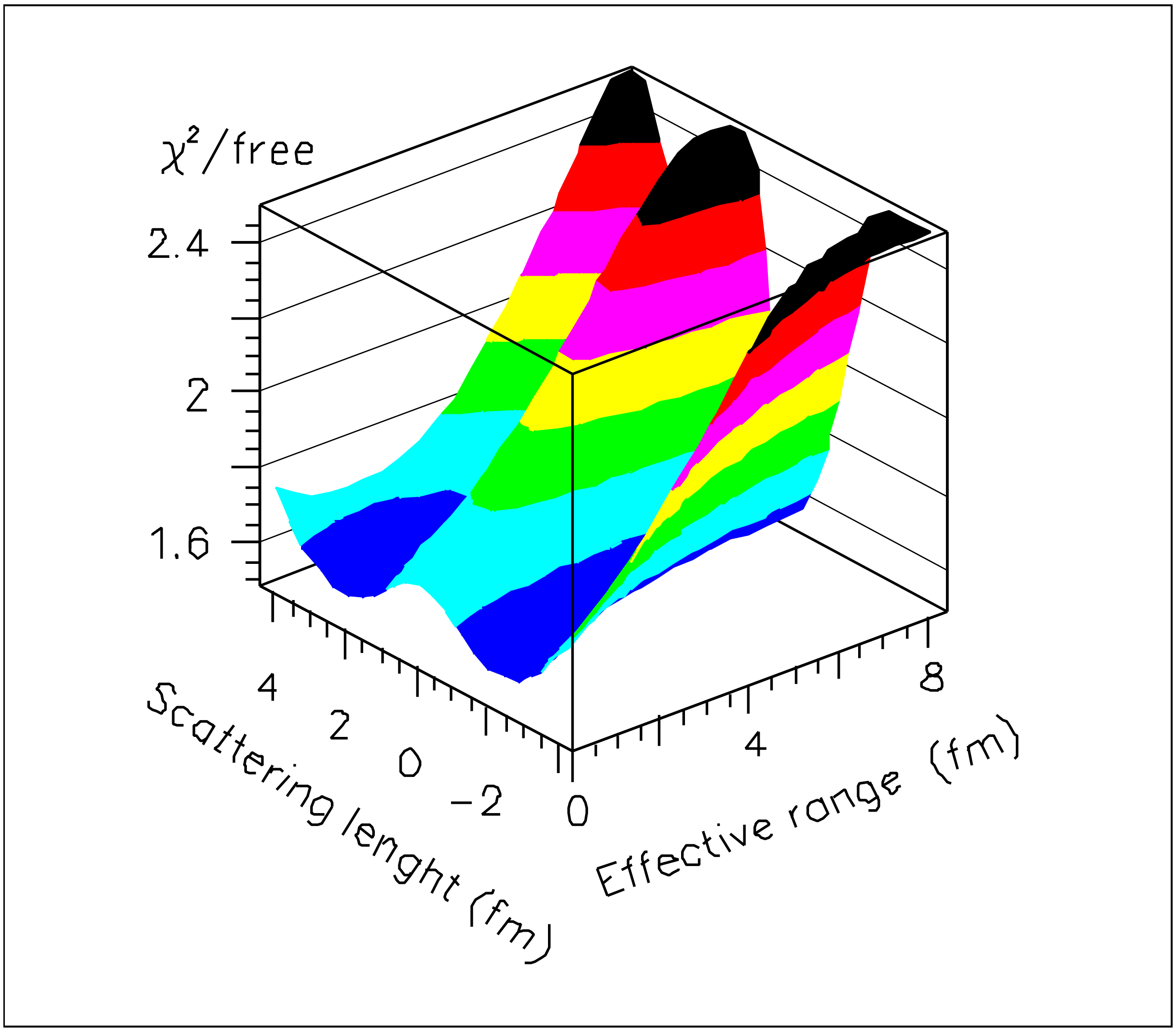

Bestimmung von Parametern
Extraktion der Streulänge
und effektiven Reichweite aus Anpassung.

Juli July Lipiec

Mo	Di	Mi	Do	Fr	Sa	**So**
		1	2	3	4	**5**
6	7	8	9	10	11	**12**
13	14	15	16	17	18	**19**
20	21	22	23	24	25	**26**
27	28	29	30	31		

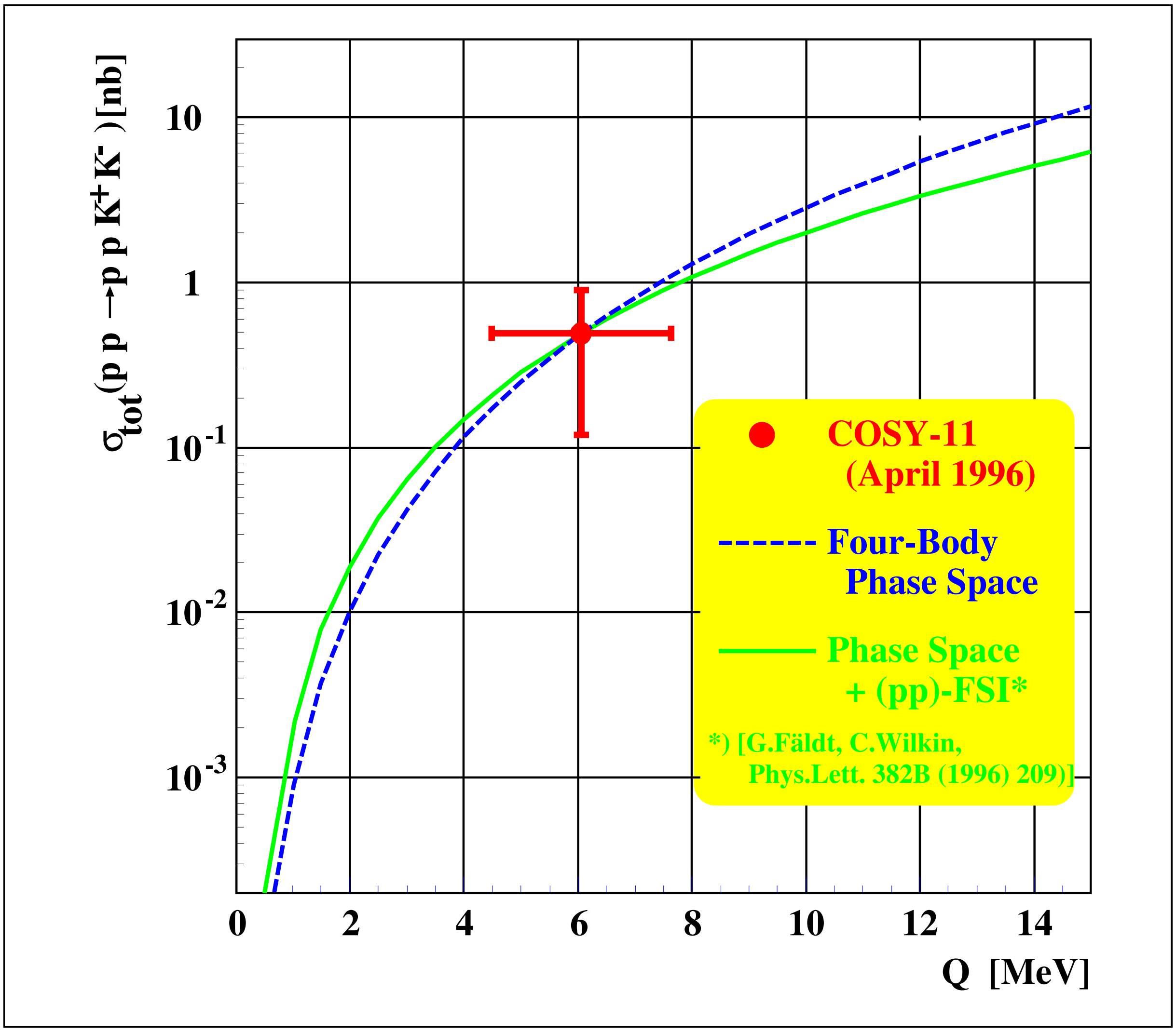

Kaonproduktion an COSY-11
Wirkungsquerschnitt für die Kaonproduktion im Kanal $pp \to ppK^+K^-$ an der Schwelle.

August August Sierpień

Mo	Di	Mi	Do	Fr	Sa	**So**
					1	**2**
3	4	5	6	7	8	**9**
10	11	12	13	14	15	**16**
17	18	19	20	21	22	**23**
24	25	26	27	28	29	**30**
31						

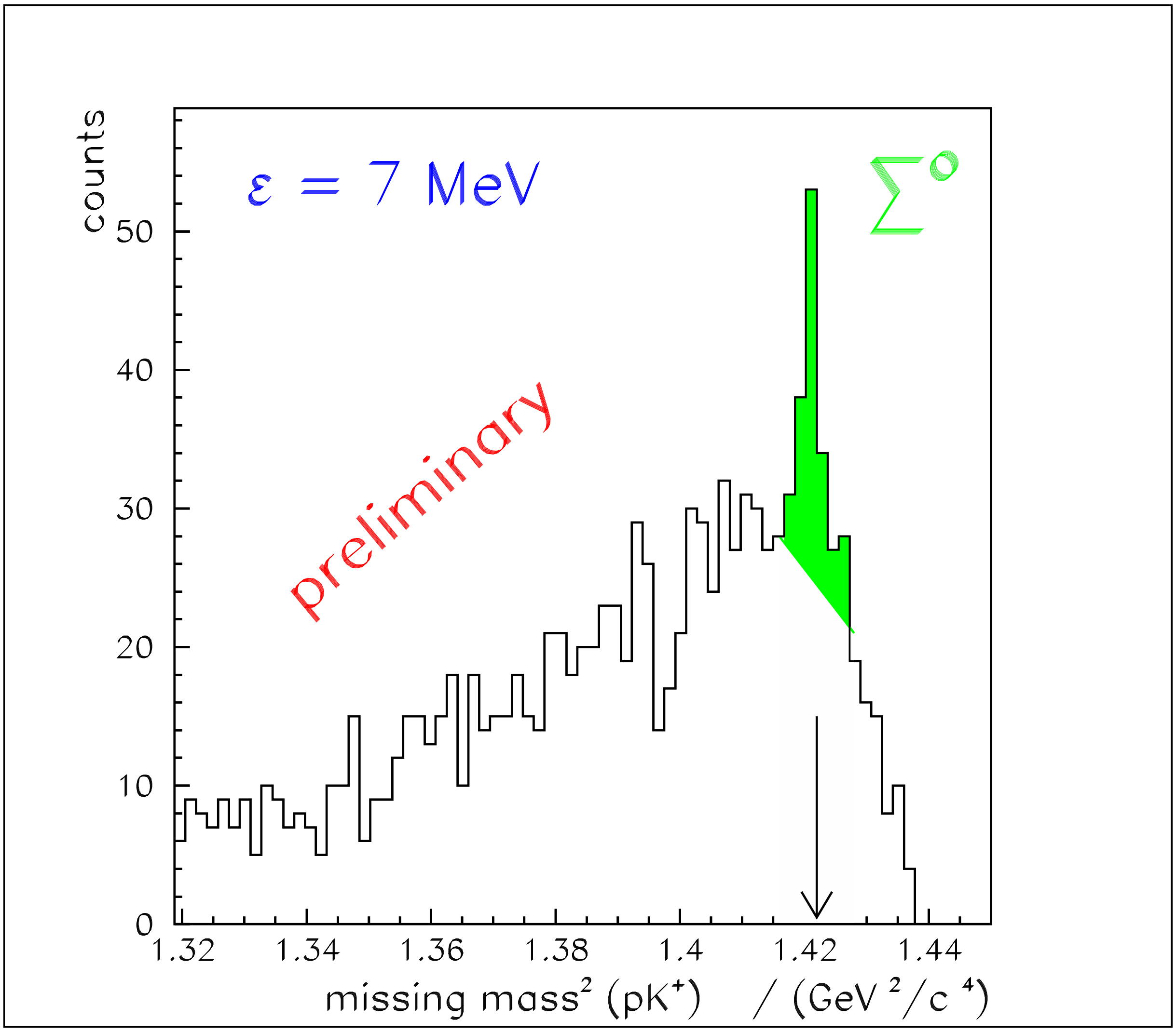

Hyperonproduktion an COSY-11

Assoziierte Strangenessproduktion

im Kanal pp $\rightarrow$ p$K^+\Sigma^0$.

September September Wrzesień

Mo	Di	Mi	Do	Fr	Sa	**So**
	1	2	3	4	5	**6**
7	8	9	10	11	12	**13**
14	15	16	17	18	19	**20**
21	22	23	24	25	26	**27**
28	29	30				

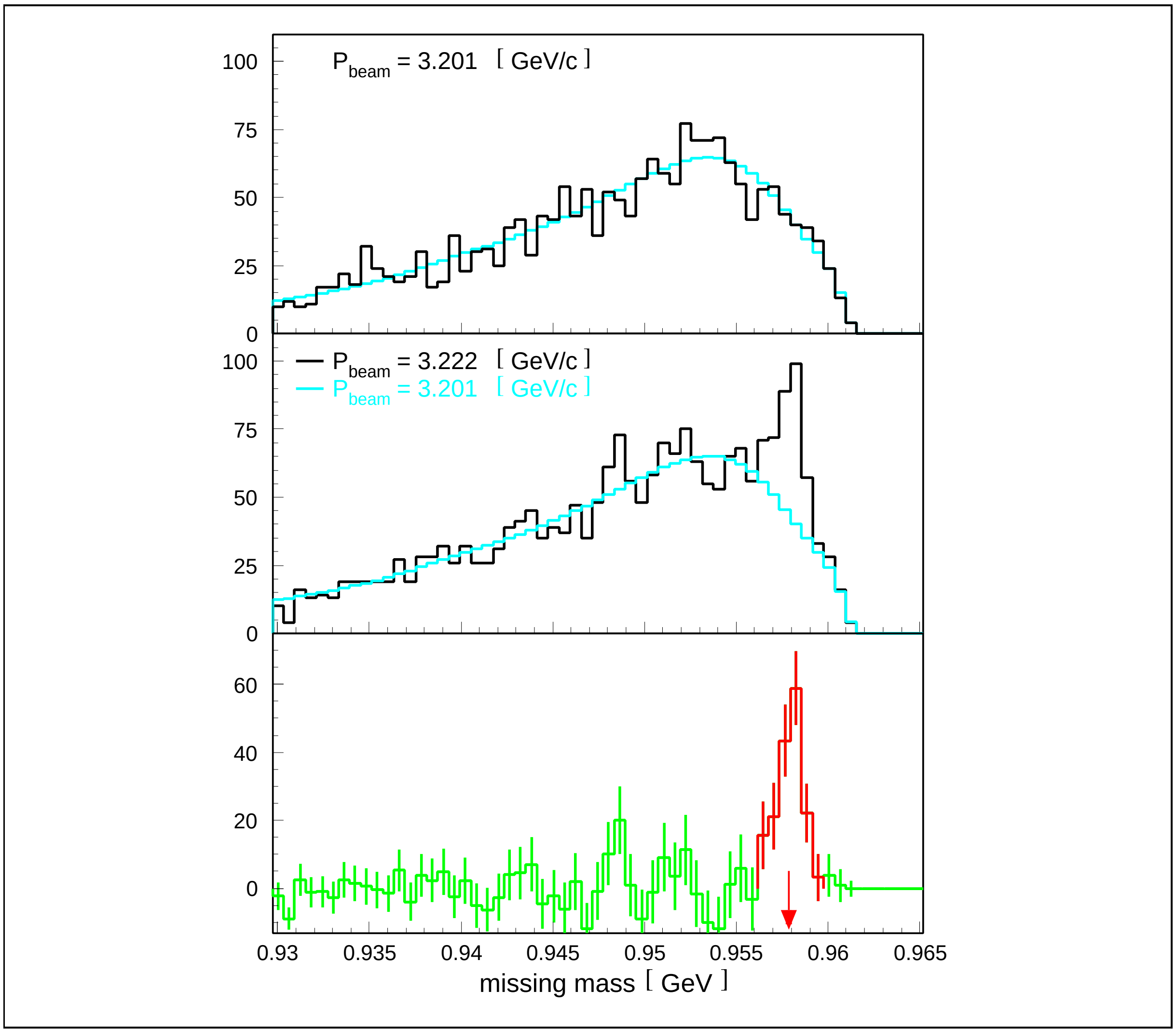

η'-Produktion an COSY-11

"Missing mass"-Spektrum unter- und oberhalb der η'-Produktionsschwelle.
Der Untergrund wird durch Pionproduktion verursacht.

Oktober October Październik

Mo	Di	Mi	Do	Fr	Sa	**So**
			1	2	**3**	**4**
5	6	7	8	9	10	**11**
12	13	14	15	16	17	**18**
19	20	21	22	23	24	**25**
26	27	28	29	30	**31**	

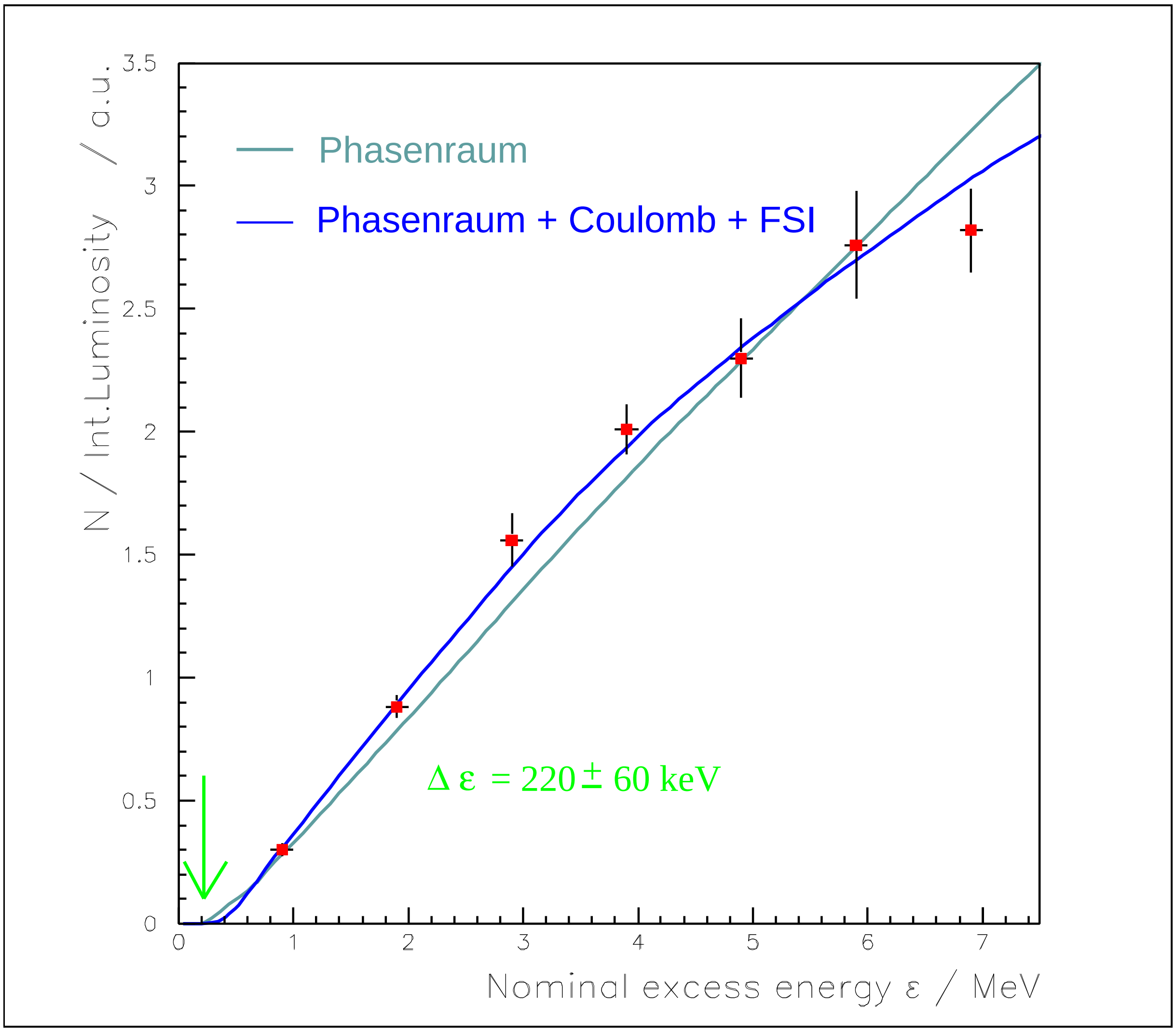

Strahlimpulsbestimmung

Anpassung von Phasenraumrechnugen zeigen, daß der nominale Strahlimpuls um 200 keV korrigiert werden muß.

November November Listopad

Mo	Di	Mi	Do	Fr	Sa	**So**
						1
2	3	4	5	6	7	**8**
9	10	11	12	13	14	**15**
16	17	18	19	20	21	**22**
23	24	25	26	27	28	**29**
30						

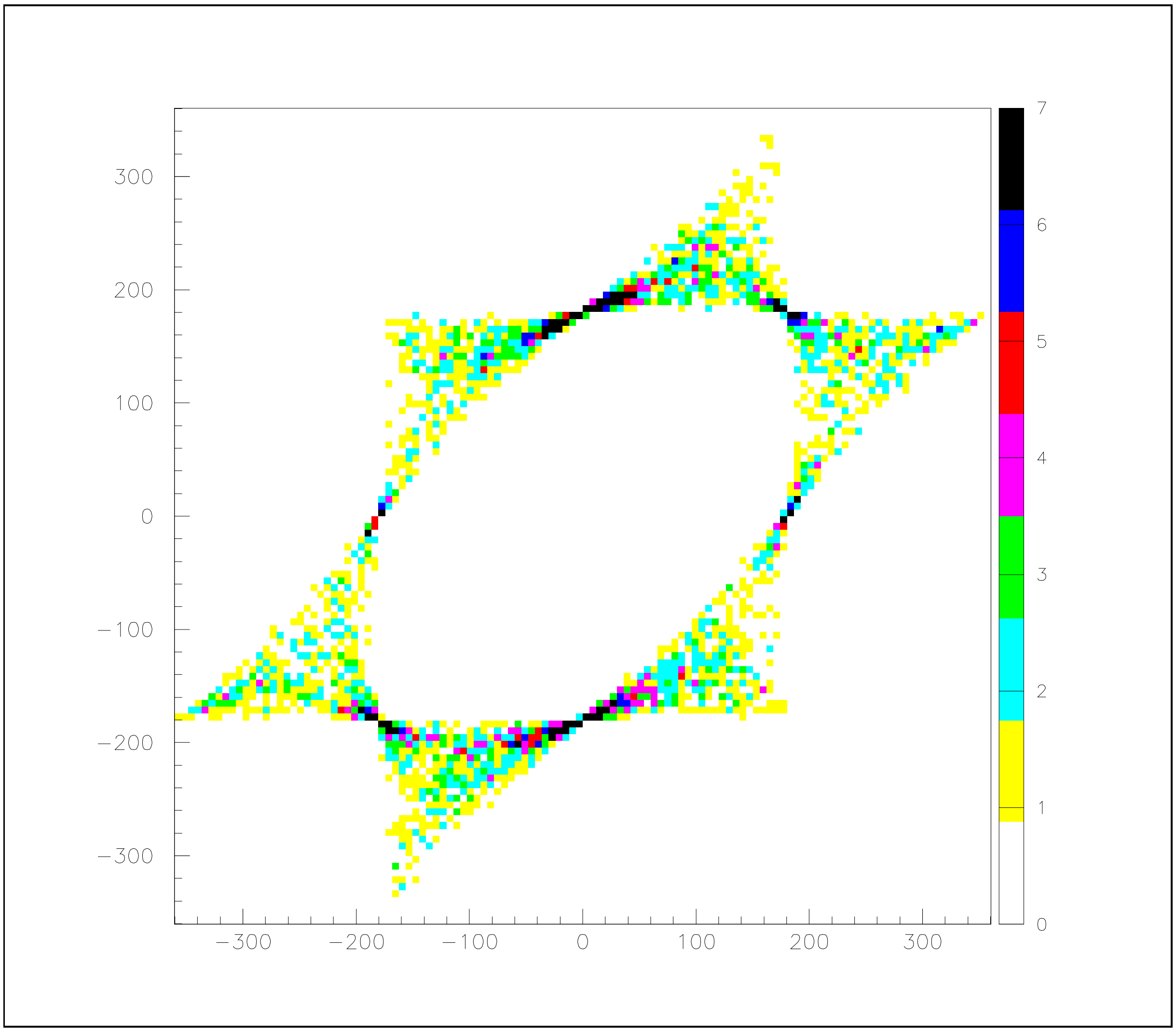

Weihnachtliche Drei-Körper-Beziehung

Differenz der Φ-Winkel bei der Reaktion

$pp \to pK^+\Lambda$ für $p\Lambda$ gegen pK^+.

Dezember December Grudzień

Mo	Di	Mi	Do	Fr	Sa	**So**
	1	2	3	4	5	**6**
7	8	9	10	11	12	**13**
14	15	16	17	18	19	**20**
21	22	23	24	**25**	**26**	**27**
28	29	30	31			